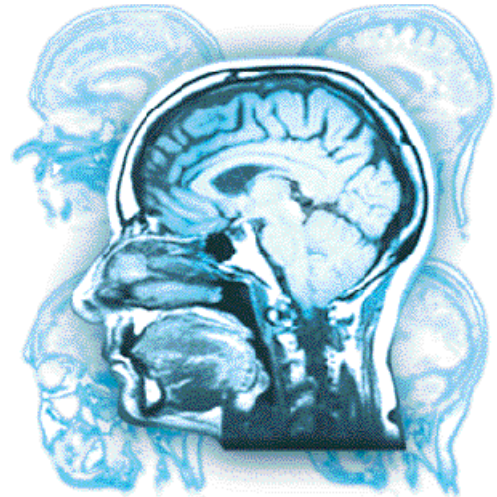


E-mail : dissect@madang.ac.kr

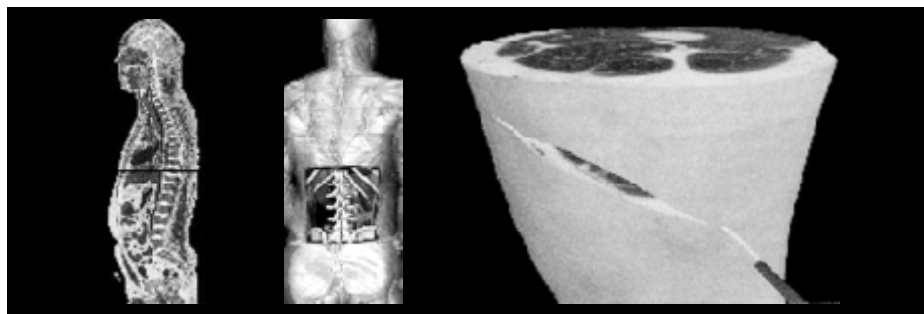


3  
[1,2].  
( 1,2)[1-8,9].

3 3 3  
3

l.  
(National Library of  
Medicine)

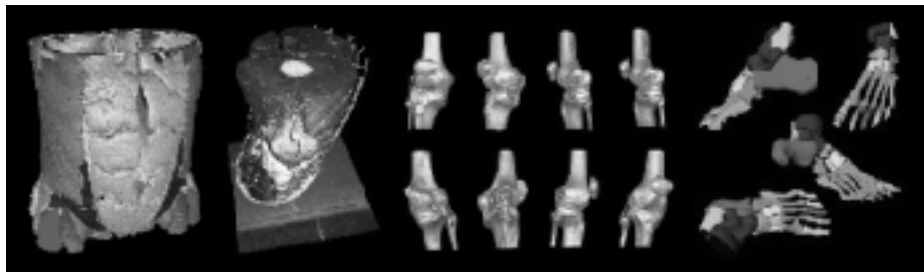
(Visible Human,  
1994 , 1995 )



< 1>

(  
1mm,  
0.33mm)

[10,1].



< 2>

[1,2].

[2,12].

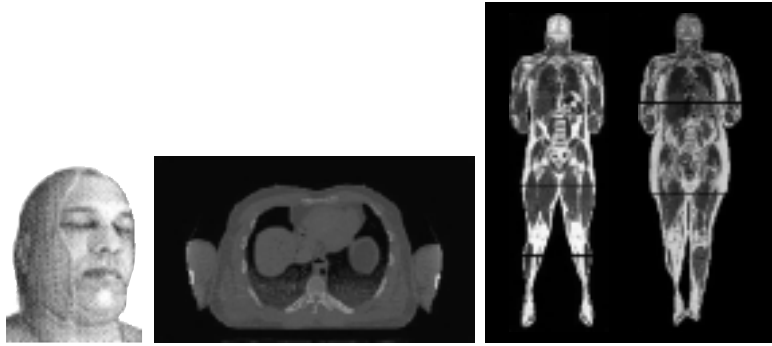
3

3

3

1,2>[1-8,9].

<



< 3>

가 ( ) .

가 < 1> .

4> .

<

가 .

505mm×90mm×2,060mm,  
×100mm×2,080mm .

가 525mm

< 3> .

< 3> .

가

(Immobilizing form A and B,  
Mev-Green<sup>TM</sup>)

< 3> .

< 3> . 1mm , 0.33 mm

< 10> .

3

[10.1].

(Magnevist,  
Schering<sup>TM</sup>) 1 : 200

0.2mm

(Advanced Serial

Sections of Human, 2000 3 - 2005 2 ) .



< 4> .

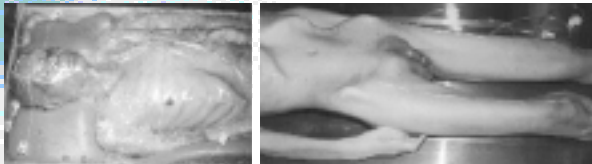
II.

< 1>

	( )	65	1,798 mm	53 kg		2001 1 ~ 2001 3
	( )	60	1,720 mm	65 kg		2001 4 ~ 2001 5
	( )	33	1,745 mm	55 kg		2001 9 ~ 2001 12
	( )					2003 3 ~ 2005 2

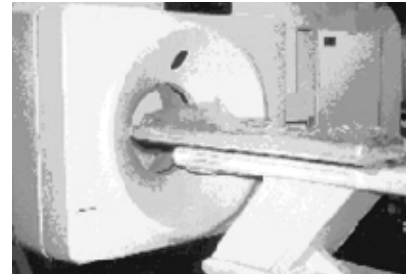
# 과학기술종합정보시스템

(Iopamiro, Ilsung™) 1 : 5  
 ( 2mm, 4mm, Tygon tube, Norton  
 ™) 6  
 (Pinch clamp, Nalge Nunc International™)  
 가 2  
 , 4  
 , 가 , ,  
 (Instant adhesive,  
 Loctite™) < 5> [10].



< 5> ( ), ( ).

1mm  
 (GE  
 Signa Horizon 1.5 Tesla MRI  
 System, Milwaukee, WS)  
 body coil  
 1  
 mm



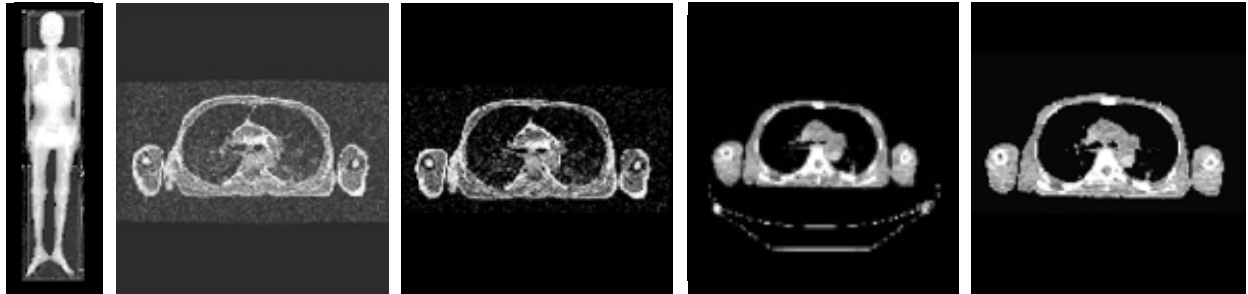
T1 < 6> ( ), ( ).

repetition time 1,000msec ,  
 echo time 8msec .  
 interleave .  
 480mm×480mm , 512×512 ™)  
 40 , (number  
 of acquisition) 2 .

. DICOM network  
 DICOM viewer Piview(Mediface  
 tiff (8 bit) raw data (16 bit)  
 . 7 4

laser

< 7>.



< 7> . ( )

< 7> .

가

. Adobe Photoshop ( 5.0)

paint bucket

가

pencil

< 11> .

< 8> .

570mm×410mm×2,000mm ,  
640mm×430mm×2,090mm .

가

2,000mm

570mm



< 8> ( ) .

가

가 1ton

( 15mm)

( 70 )

< 8> .

( )가 'ㄷ'

(

mm) , 2,090mm, 15  
80mm

가

가 (

(3% gelatin

가

)

)

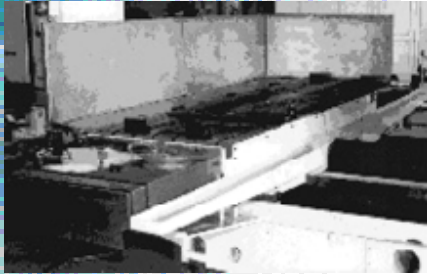
(0.05% methylene blue)

5,240mm,

(

가

# 과학기술종합정보시스템



< 9>

( ), (가 ), ( ).

) 4,250mm, ( rpm 10 1  
) 3,240mm , mm .

14.5ton .

, . , 가

가

, 가 ( 2,000mm) ( 가 1 mm  
1,000mm)

가

가

< 9>.

가

. 가

가

가

가

1mm 10 10mm

, ( 900  
mm) 360mm ,

가 20

가

가

ethyl alcohol

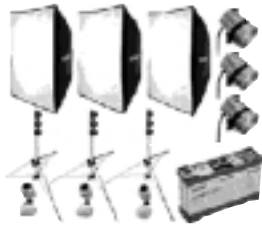
가

1

um

0.1mm 1.0mm

가 24rpm 1,315



< 10> ( ).



(DCS 560)( ).

2 (polarized strobe light)  
(soft box, 1,000mm x 1,000mm,  
ELINCHROM™)

(Auto Meter F, Minolta™)  
가 < 10>.

3  
250mm 가 mm 1,798  
±150mm ± 가 1,710mm  
160 mm 가 1,798mm

가  
3  
가 3,040x2,008  
(DCS 560, Kodak™)  
가 3,040x2,008

600mmx400mm  
Canon EOS 1N 60mm 1,798 34,303 Mbytes  
Micro (Canon™), UV (Canon™) ( 490x272 8 bit gray),

< 2>

가  
< 10>.

			1	1,798
	490 x 272	0.94 mm x 0.94 mm	396 Kbytes	712 Mbytes
	490 x 272	0.94 mm x 0.94 mm	396 Kbytes	712 Mbytes
	490 x 272	0.94 mm x 0.94 mm	396 Kbytes	712 Mbytes
	3,040 x 2,008	0.20 mm x 0.20 mm	17,890 Kbytes	32,167 Mbytes
				34,303 Mbytes

# 과학기술종합정보시스템

( 490x272 8 bit gray),  
 ( 490x272 8 bit color) 1  
 가 396KBytes . ( ,  
 3,040x2,008, 24bit true color) 1 가  
 가 17,890Kbytes < 2>.

Visible Human

Visible Human laser  
 4mm  
 1mm

Visible Human

Visible Human 가  
 1mm

< 3,7>.

가

가

1mm

Visible Human

Visible Human 가  
 0.33mmx0.33mm ,  
 가 0.2mmx0.2mm

가

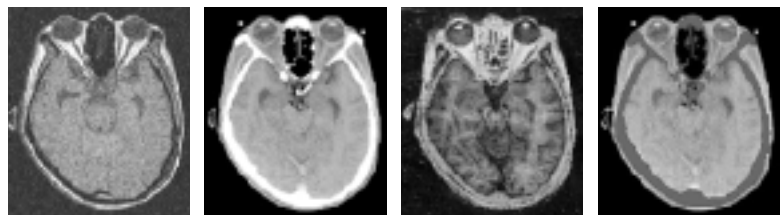
< 3, 7>.

laser

가

(1 : 200)

< 7>.



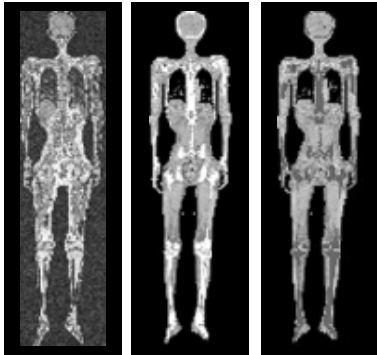
< 11>

( )





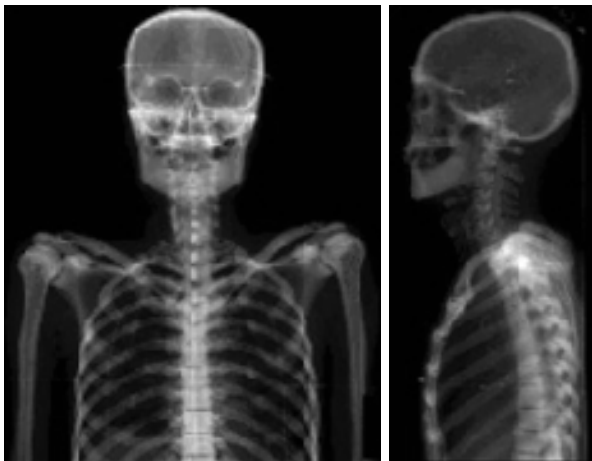
가 , 2 3  
 , 3  
 .3 , , <  
 , 12>. 3 가 ,  
 가 , 가  
 < 13>. 3 < 14>.  
 (Visible  
 finder , view Korean Human)  
 (Visible Human)  
 가  
 (FM-2, Nikon™)  
 55mm Micro (Niko™),  
 UV (Niko™),  
 (EKTACHROME 64 Professional Film,  
 KodaR™)  
 가 Kodak  
 ( 0.2mm×0.2mm) tiff 가  
 (24 bit true color) 1 mm  
 가 0.94mm×0.94mm (membrane depolarization)  
 가 voxel(3 가 , 가  
 ) 가 가  
 가 , 4  
 가 , mm , 가  
 1mm , 가



< 12> (가), ( ), ( ),



< 13> 가 (가), 가 ( ), 가 ( )



< 14>

가  
( , )

3

가 가

가

3

1,878

19

가

0.2mm

가 2,048x2,048

가 0.33mmx0.33mm ,

가 3,040x2,008

가 0.2mmx0.2mm

.3

0.33mm

(

1mm

.),

0.2mm

가 0.2mm

x0.2mm

0.2mm

0.2mm

가 , .  
 3  
 1mm  
 0.2mm  
 가  
 1mm 3 가  
 3  
 0.2mm  
 . 3 가 ( , )  
 , 3  
 가  
 3 가  
 , , 가  
 3 가  
 가 , 3  
 가 , 가  
 , 가  
 . 0.2  
 10,000 3 가  
 , 가  
 mm  
 가  
 가 50  
 가 500,000



[1] , , " , 3 가 " , , 32, 859-868, 1999.  
 [2] , , " , " , , 12, 21-33, 2000.  
 [3] , , " , 3 가 " , , 21, 17-22, 1999.  
 [4] , , " , " , 3 가 " , , 5, 91-98, 1999.  
 [5] , , " , 3 가 " , , 4, 15-24, 1999.  
 [6] , , " , " , , 13, 263-270, 2000.  
 [7] Ackerman MJ, " The visible human project," Proceeding on IEEE, 86, 504-511, 1998.  
 [8] Ackerman MJ, " The visible human project. A resource for education," Acad Med, 74, 667-670, 1999.  
 [9] Chung MS, Kim SY, " Three-dimensional image and virtual dissection program of the brain made of Korean cadaver Yonsei Med J, 41, 299-303, 2000.  
 [10] Spitzer VM, Ackerman MJ, Scherzinger AL, Whitlock DG, " The visible human male. Technical report," J Am Med Inform Assoc, 3, 118-130, 1996.  
 [11] Spitzer VM, Whitlock DG, " The visible human dataset. The anatomical platform for human simulation " Anat Rec, 253, 49-57, 1998.  
 [12] Toh MY, Falk RB, Main JS, " Interactive brain atlas with the visible human project data. Development methods and techniques " Radiographics, 16, 1201-1206, 1996.